

05.2; 07; 12

© 1991

ИССЛЕДОВАНИЕ СТРУКТУРЫ ТОНКИХ
ЭПИТАКСИАЛЬНЫХ СЛОЕВ CaF_2 НА Si (111)
МЕТОДАМИ ПРИМЕСНОЙ ФОТОЛЮМИНЕСЦЕНЦИИ
И СТОЯЧИХ РЕНТГЕНОВСКИХ ВОЛН

Х.К. Альварес, А.Ю. Казимиров,
М.В. Ковальчук, А.Я. Крейнс,
Н.С. Соколов, Т.Ю. Фидченко,
Н.Л. Яковлев

Эпитаксиальные диэлектрические слои флюорита CaF_2 , выращенные методом молекулярно-лучевой эпитаксии (МЛЭ) на Si (111), привлекают значительное внимание благодаря их разнообразным потенциальным применениям в микроэлектронике и интересу к фундаментальным исследованиям границы раздела ковалентного полупроводника Si и ионного диэлектрика CaF_2 [1, 2]. Настоящая работа посвящена изучению структуры границы раздела CaF_2/Si (111) и деформированного состояния пленок флюорита толщиной 10 нм, выращенных при разных температурах. Исследование гетероэпитетаксиальных структур проводилось методами примесного фотолюминесцентного зонда [3, 4] и стоячих рентгеновских волн [5, 6].

Для выращивания слоев CaF_2 на Si (111) методом МЛЭ была применена установка, описанная в [3]. Хорошо сориентированные подложки кремния с размерами $10 \times 7.5 \times 2.5$ мм были тщательно химически и термически (*in situ*) очищены. Перед эпитаксией в картине дифракции быстрых электронов (ДБЭ) наблюдалась отчетливая сверхструктура 7×7 , типичная для атомно-чистой поверхности Si (111). Рост слоя начинался при температуре подложки $T_l = 770$ °C, которая была достаточно высокой для десорбции первого монослоя фтора и формирования доминирующего типа связи на интерфейсе $\text{Ca} - \text{Si}$ [9, 10]. После выращивания трех монослоев флюорита шторка источника CaF_2 закрывалась и температура подложки изменялась до величины $T_l = 100 \dots 770$ °C. Затем рост был продолжен таким образом, чтобы общая толщина пленки была близка к 10 нм.

Для последующей характеристизации эпитетаксиальных слоев CaF_2 по спектрам примесной фотолюминесценции (ФЛ) слои в процессе роста легировались ионами Sm^{2+} путем помещения в источник монокристаллов CaF_2 , содержащих 0.3 % Sm . Для возбуждения ФЛ использовался Не-Не лазер. Измерение спектров ФЛ при $T=1.7$ К производилось с помощью двойного решеточного монохроматора и охлаждаемого фотоумножителя, работающего в режиме счета фотонов.

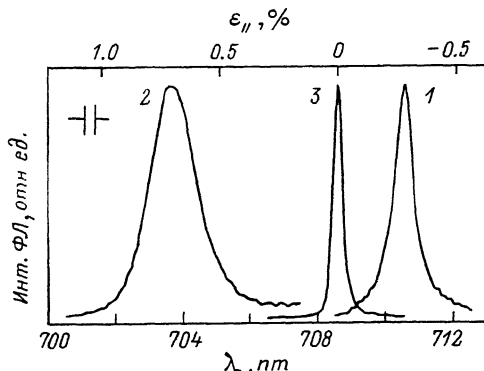


Рис. 1. Спектры фотолюминесценции ионов Sm^{2+} при 1.7 К в эпитаксиальных слоях CaF_2 толщиной 10 нм, выращенных при различных температурах (1 – $T_l = 100$ °C; 2 – $T_l = 770$ °C), и в объемном монокристалле CaF_2 (3). Верхняя шкала – величина плоской деформации пленки.

Для возбуждения CaK_{α} флуоресценции из эпитаксиальной пленки использовалось SiK_{α} излучение стандартной рентгеновской трубки. Падающее на образец излучение коллимировалось с помощью симметричного Si (111) монохроматора. Измерялись угловые зависимости выхода флуоресценции для рефлекса (111). При этом для накопления слабого сигнала использовалась система динамической стабилизации углового положения образца.

На рис. 1 представлены спектры ФЛ слоев $CaF_2 : Sm^{2+}$, выращенных при $T_l = 100$ °C и $T_l = 770$ °C, на этом же рисунке изображен спектр ФЛ исходного объемного монокристалла. При малом рассогласовании параметров решетки ($T_l = 100$ °C) рост пленки псевдоморфный, что проявляется в возникновении в пленке деформации сжатия величиной –0.3% [11] ($a_{CaF_2} > a_{Si}$). При увеличении T_l от 100 °C до 770 °C рассогласование решеток слоя и подложки возрастает от 0.8 до 2.3 %, и это приводит к срыву псевдоморфного роста. При этом образуются дислокации несоответствия, так что ширина линии $\delta\lambda$ в спектре ФЛ существенно увеличивается. Кроме того, меняется знак средней деформации пленки, что объясняется замораживанием дефектов, образующихся при срыве псевдоморфного роста, и большей величиной коэффициента термического расширения CaF_2 по сравнению с Si [4].

Вид угловой зависимости выхода флуоресценции CaK_{α} для пленок данного состава и толщины зависит от трех параметров [6–8]: разности межплоскостных расстояний между пленкой и подложкой для данного рефлекса (которую принято характеризовать изменением брэгговского угла $\Delta\theta$), измеренного вдоль вектора дифракции расстояния между первой (со стороны подложки) атомной плоскостью Ca и ближайшей к интерфейсу дифрагирующей плоскостью $Si, p_{hk\ell}^{hk\ell}$, и так называемого статического фактора Дебая–Вал-

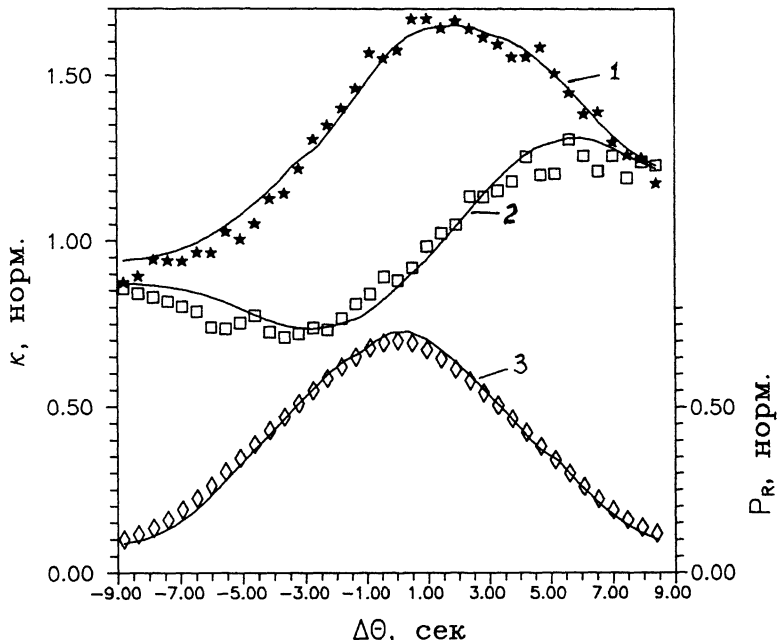


Рис. 2. Угловые зависимости выхода CaK_{α} флуоресценции из эпигексиальных слоев CaF_2 толщиной 10 нм, выращенных при различных температурах (1 - $T_L = 100^\circ\text{C}$; 2 - $T_L = 770^\circ\text{C}$), и кривая дифракционного отражения (3). Точки - эксперимент, сплошные кривые - результаты расчетов.

лера $e^{-\omega} = \exp(-\frac{1}{2} h^2 < (z-z_c)^2 >)$, описывающего среднеквадратичные статические смещения атомов в направлении вектора обратной решетки \vec{h} из среднего положения z_c . Последний параметр характеризует кристаллическое совершенство пленки: для идеальной решетки $e^{-\omega}=1$ с ростом степени разупорядочения фактор Дебая-Валлера уменьшается.

На рис. 2 приведены угловые зависимости выхода флуоресцентного излучения кальция от слоев флюорита, выращенных при $T_L = 100^\circ\text{C}$ и 770°C . По смещению линии фотолюминесценции Sm^{2+} в пленке по отношению к ее расположению в монокристалле CaF_2 ($\Delta\lambda$) нами вычислялись дилатации, значения которых затем приводились к комнатной температуре ($\Delta V/V$) и пересчитывались в ϵ_{zz} по формулам линейной теории упругости. По ϵ_{zz} и определялся требуемый параметр $\Delta\theta$. Параметры P^{III} и $e^{-\omega}$ определялись методом наименьших квадратов по кривой выхода флуоресценции в модели, предполагающей однородное распределение деформаций по толщине пленки. Значения параметров кривой выхода

Параметры эпитаксиальных слоев CaF_2 на Si (111),
определенные методами фотолюминесценции и стоячих
рентгеновских волн

$T_L, ^\circ\text{C}$	$\Delta\lambda, \text{ нм}$	$\delta\lambda, \text{ нм}$	$\frac{\Delta V}{V} \cdot 10^3$	$\Delta\theta$	$P^{111} \text{ \AA'}$	$e^{-\omega}$
100	+2.0	0.6	-6.3	-620"	2.39	0.45
550	+1.7	1.5	-5.4	-584"	2.47	0.55
660	-	-	-	-400"*	2.47	0.65
770	-4.9	1.6	4.8	-85"	2.54	0.85

* Поскольку данные по фотолюминесценции для этого образца отсутствуют, данная величина определялась методом стоячих волн, исходя из фиксированной величины $P^{111}=2.47 \text{ \AA'}$.

флуоресценции Ca вместе с параметрами линий фотолюминесценции Sm^{2+} приведены в таблице.

Прежде всего следует отметить, что P^{111} во всех исследуемых образцах примерно одинаков и не зависит от температуры роста пленки T_L , а следовательно, и рассогласования параметров решетки пленки и подложки. По нашим данным величина P^{111} составляет $(0.79 \pm 0.06) d_{[111]} = (2.47 \pm 0.20) \text{ \AA'}$, что близко к значению $P^{111}=2.5 \text{ \AA'}$, измеренному в [9] по угловой зависимости интенсивности рассеяния ионов He^+ от пленки CaF_2 толщиной 1 монослой. Эти значения P^{111} соответствуют модели строения интерфейса CaF_2 / Si (111), в которой ближайшим к кремнию оказывается слой атомов кальция, а не фтора. Полученное нами значение P^{111} заметно отличается от $P^{111}=2.73 \text{ \AA'}$, измеренного в [12] аналогичным методом. Это может быть связано с тем, что в [12] изучались пленки CaF_2 толщиной менее одного монослоя, а в таких пленках методом сканирующей туннельной микроскопии [10] были обнаружены структуры, отличные от 1×1 , что может приводить к иной величине P^{111} .

Как видно из таблицы, при увеличении температуры роста пленки, с одной стороны, возрастает полуширина линии люминесценции Sm^{2+} , определяемая наличием случайных деформаций, обусловленных дефектами в пленке, с другой стороны, растет статический фактор Дебая-Валлера, что указывает на улучшение структурного совершенства эпитаксиального слоя. Наблюдаемые закономерности можно объяснить исходя из того, что точечные и линейные дефекты по-разному влияют на полуширину линии ФЛ и фактор Дебая-Валлера. Известно [13], что сдвиг бесфононной линии ФЛ Sm^{2+} определяется локальной

дилатацией кристалла в месте нахождения атома зондирующей примеси, поэтому полуширина линии ФЛ характеризует неоднородность дилатации кристалла. На фактор же Дебая-Валлера влияет только неоднородность деформации кристалла в направлении вектора дифракции, т.е. ϵ_{zz} . Кроме того, положение линии ФЛ менее чувствительно к точечным дефектам, чем к линейным, поскольку у первых отсутствует дальнодействующее поле напряжений. Поэтому удаленные от ионов Sm^{2+} точечные дефекты будут вносить малый вклад в уширение линии излучения. Фактор же Дебая-Валлера „чувствует“ все точечные дефекты.

В псевдоморфных пленках, выращенных при низких температурах, отсутствуют дислокации несоответствия, но следует ожидать достаточно высокой концентрации точечных дефектов. Это объясняет малую полуширину линии ФЛ и низкое значение фактора Дебая-Валлера. В пленках же, выращенных при высоких температурах, псевдоморфный рост сорван, и присутствуют дислокации несоответствия, приводящие к уширению линии ФЛ [11]. Концентрация точечных дефектов в этих пленках мала (высокий коэффициент диффузии при температуре роста, наличие дислокаций-стоков), а краевые дислокации несоответствия, по-видимому, не дают заметной неоднородности ϵ_{zz} . Это и объясняет наблюдаемую картину.

Таким образом, полученные нами результаты исследования деформаций и кристаллического качества тонких эпитаксиальных слоев фторида кальция методами примесной фотолюминесценции и стоячих рентгеновских волн указывают на сильную зависимость структурного совершенства эпитаксиальных слоев CaF_2 на $Si(111)$ от условий их роста и на взаимно дополняющий характер структурной информации, получаемой этими методами.

Авторы выражают признательность А.А. Каплянскому за поддержку работы.

Список литературы

- [1] Schowalter L.J., Fathauer R.W. // J. Vac. Sci. Technol. 1986. V. A4. N 3. P. 1026-1032.
- [2] Ishiwara H., Asano T., Tsutsui K., Lee H.C., Furukawa S. // Mat. Res. Soc. Symp. Proc. 1988. V. 102. P. 343-353.
- [3] Гастев С.В., Новиков С.В., Соколов Н.С., Яковлев Н.Л. // Письма в ЖТФ. 1987. Т. 13. В. 16. С. 961-966.
- [4] Соколов Н.С., Вихиль Е., Гастев С.В., Новиков С.В., Яковлев Н.Л. // ФТТ. 1989. Т. 31. В. 2. С. 75-79.
- [5] Kovalevich M.B., Kon V.G. // УФН. 1986. Т. 149. В. 1. С. 69-103.

- [6] Akimoto K., Ishikawa T., Takahashi T., Kikuta S., Matsui J. // Jap. J. of Appl. Phys. 1985. V. 24. N 12. P. L917-920.
- [7] Fisher A., Vlieg E., van der Veen J., Claussnitzer M., Materlik G. // Phys. Rev. B. 1987. V. 36. N 9. P. 4769-4773.
- [8] Saitoh Y., Hashizume H., Tsutsui K. // Jap. J. of Appl. Phys. 1988. V. 27. N 8. P. 1386-1396.
- [9] Tromp R., Reuter M., Lee Gooss F.K., Krakow W. // J. Vac. Sci. Technol. 1989. V. 47. N 3. P. 1910-1913.
- [10] Avouris Ph., Wolkow R. // Appl. Phys. Lett. 1989. V. 55. N 11. P. 1074-1076.
- [11] Sokolov N.S., Yakovlev N.L., Almeida J. // Sol. State. Com. 1990. V. 76. N 7. P. 883-885.
- [12] Zegenhagen J., Patel J. // Phys. Rev. 1990. V. B41. N 8. P. 5315-5318.
- [13] Каплянский А.А., Пржевуский А.К. // Оптика и спектроскопия. 1966. Т. 20. В. 6. С. 1045-1057.

Поступило в Редакцию
6 августа 1991 г.